

## Threshold of Salinity Tolerance and Yield Reduction Slope of Fenugreek (*Trigonella foenum-graecum* L.) at Different Growth Stages

Mohammad Hossein Banakar <sup>id\*1</sup>, Hamzeh Amiri <sup>id2</sup>, Gholam Hassan Ranjbar <sup>3</sup> and Mohammad Javad Babaie Zarch <sup>4</sup>

1- Faculty member, National Salinity Research Center, Agricultural Research, Education and Extension Organization, Yazd, Iran. [mh\\_banakar@yahoo.com](mailto:mh_banakar@yahoo.com)

2- Faculty member, Department of Biology, Faculty of Sciences, Lorestan University, Khorram Abad, Iran. [amiri\\_h\\_lu@yahoo.com](mailto:amiri_h_lu@yahoo.com)

3- Faculty member, National Salinity Research Center, Agricultural Research, Education and Extension Organization, Yazd, Iran. [ranjbar71@gmail.com](mailto:ranjbar71@gmail.com)

4- Faculty member, National Salinity Research Center, Agricultural Research, Education and Extension Organization, Yazd, Iran. [javadbabaei67@gmail.com](mailto:javadbabaei67@gmail.com)

«Research Article»

Received: April 28, 2025, and Accepted: July 15, 2025

### Abstract

The increasing trend of salinity in water and soil resources has made it important to identify medicinal plants that are tolerant to salinity. This study was conducted in four separate experiments to evaluate the salinity tolerance of the medicinal plant fenugreek and the changes in its threshold of tolerance to salinity at different growth stages (germination, emergence, vegetative growth, reproductive growth). In the laboratory, the salinity tolerance of fenugreek was studied at ten salinity levels (control, 3, 6, 9, 12, 15, 18, 21, 24, 27 dS.m<sup>-1</sup>). In the greenhouse, the fenugreek salinity tolerance was studied at seven salinity levels (0.5, 3, 6, 9, 12, 15, 18 dS.m<sup>-1</sup>) during the emergence stage and at seven salinity levels (0.5, 2, 4, 6, 8, 10, 12 dS.m<sup>-1</sup>) during the vegetative and reproductive stages. The experiment was conducted in the form of randomized complete block design with three replications. In this research, some empirical models (linear, sigmoidal, exponential, and multicomponent models) were used. Results showed that the salinity tolerance of fenugreek changed during different growth stages as fenugreek had the highest tolerance at the germination stage, at which, the threshold was 20.3 dS.m<sup>-1</sup> and the germination reduction slope was 10.3% for the Isfahani variety. However, this tolerance gradually decreases in the later growth stages, such that fenugreek showed lower tolerance to salinity at emergence stage compared to the germination stage (the salt threshold of 4.9 dS.m<sup>-1</sup> with a reduction slope of 25.7%). In the vegetative growth stage, the salt tolerance of fenugreek decreased, such that its threshold was 1.3 dS.m<sup>-1</sup> with a yield reduction slope of 4.9%. Fenugreek showed the least tolerance to salinity at seed ripening stage, at which, the threshold of salinity tolerance was 1.30 dS.m<sup>-1</sup> with a yield reduction slope of 64.8%. According to nonlinear models, the corresponding salinity values at which yield is reduced by 50% (EC<sub>50</sub>) for the Isfahan fenugreek population at the germination, emergence, vegetative growth and seed ripening stages were 25.8, 11.5, 11.7, and 6.5 dS.m<sup>-1</sup>, respectively. Therefore, in areas with different qualities of water, farmers can irrigate fenugreek with saline water in the early stages of growth and gradually with higher quality water in the later stages.

**Keywords:** Experimental models, Salinity tolerance index, Saline water, Saline soil, Medicinal plants

\* - Corresponding author's email: [mh\\_banakar@yahoo.com](mailto:mh_banakar@yahoo.com)

Cite this article:Banakar, M.H., Amiri, H., Ranjbar,Gh.,2025. The threshold of salinity tolerance and the yield reduction slope of fenugreek (*Trigonella foenum-graecum* L.) at different growth stages. Journal of Soil Research, 39 (1), 53-73 .



حد آستانه تحمل شوری و شبکه کاهش عملکرد شنبه‌لیه (*Trigonella foenum-graecum L.*) در مراحل مختلف رشدمحمدحسین بنکار<sup>۱\*</sup>, حمزه امیری<sup>۲</sup>, غلامحسن رنجبر<sup>۳</sup> و محمدجواد بابایی زارچ<sup>۴</sup>۱- عضو هیئت علمی (استادیار) مرکز ملی تحقیقات شوری، سازمان تحقیقات، آموزش و ترویج کشاورزی، یزد، ایران. [mh\\_banakar@yahoo.com](mailto:mh_banakar@yahoo.com)۲- عضو هیئت علمی (استاد) گروه زیست‌شناسی، دانشکده علوم، دانشگاه لرستان، خرم‌آباد، ایران. [amiri\\_h\\_lu@yahoo.com](mailto:amiri_h_lu@yahoo.com)۳- عضو هیئت علمی (دانشیار) مرکز ملی تحقیقات شوری، سازمان تحقیقات، آموزش و ترویج کشاورزی، یزد، ایران. [ranjbar71@gmail.com](mailto:ranjbar71@gmail.com)۴- عضو هیئت علمی (استادیار) مرکز ملی تحقیقات شوری، سازمان تحقیقات، آموزش و ترویج کشاورزی، یزد، [javadbabaei67@gmail.com](mailto:javadbabaei67@gmail.com)

## «مقاله پژوهشی»

دریافت: ۱۴۰۴/۲/۸ و پذیرش: ۱۴۰۴/۴/۲۳

## چکیده

رونده رو به افزایش شوری منابع آب و خاک، شناخت گیاهان دارویی متحمل به شوری را برای بهره‌برداری از منابع آب و خاک شور حائز اهمیت ساخته است. این تحقیق، به منظور ارزیابی تحمل به شوری گیاه دارویی شنبه‌لیه و تغییرات حد آستانه تحمل به شوری آن در مراحل مختلف رشد (جوانه‌زنی، سبز شدن، رشد رویشی، رشد زایشی) در قالب ۴ آزمایش جداگانه انجام شد. در آزمایشگاه، تحمل به شوری شنبه‌لیه در مرحله جوانه‌زنی با ۱۰ سطح شوری (دسی زیمنس بر متر ۰/۰۵، ۰/۱۲، ۰/۱۵، ۰/۱۸، ۰/۲۱، ۰/۲۴، ۰/۲۶، ۰/۲۹، ۰/۳۱، ۰/۳۴، ۰/۳۷) و در مراحل رشد رویشی و زایشی نیز با ۷ سطح شوری (دسی زیمنس بر متر ۰/۰۵، ۰/۱۰، ۰/۱۲، ۰/۱۴، ۰/۱۶، ۰/۱۸) بررسی شد. آزمایش در قالب طرح آماری بلوك‌های کامل تصادفی با سه تکرار انجام گرفت. در این تحقیق، از مدل‌های تجربی (خطی، سیگموئیدی، نمایی و چند جزئی) استفاده شد. نتایج نشان داد که تحمل به شوری شنبه‌لیه در مراحل مختلف رشد متفاوت است بطوری که شنبه‌لیه در مرحله جوانه‌زنی بیشترین میزان تحمل به شوری را داشت. در مرحله جوانه‌زنی حد آستانه تحمل به شوری برابر دسی زیمنس بر متر ۰/۳ و شبکه کاهش عملکرد ۱۰٪ برای توده اصفهانی بدست آمد. لیکن، این تحمل در مراحل بعدی رشد و نمو به تدریج کمتر شد. به طوری که شنبه‌لیه در مرحله سبزشدن نسبت به جوانه‌زنی تحمل به شوری پایین‌تری از خود نشان داد (حد آستانه دسی زیمنس بر متر ۰/۹ با شبکه کاهش ۰/۷٪). در مرحله رشد رویشی، تحمل به شوری شنبه‌لیه کمتر شد به طوری که آستانه تحمل به شوری آن دسی زیمنس بر متر ۱/۳ همراه با شبکه کاهش عملکرد ۰/۴٪ بود. شنبه‌لیه در مرحله رسیدگی دانه کمترین تحمل را به شوری نشان داد و حد آستانه تحمل به شوری آن دسی زیمنس بر متر ۱/۳ با شبکه کاهش عملکرد ۰/۶٪ بود. مطابق مدل‌های غیرخطی، مقادیر متناظر شوری که در آن عملکرد ۵۰٪ کاهش می‌یابد (EC<sub>50</sub>) برای توده اصفهانی شنبه‌لیه در مراحل جوانه‌زنی، سبزشدن، رشد رویشی و رسیدگی دانه به ترتیب ۰/۸، ۰/۲۵، ۰/۱۱ و ۰/۵ دسی زیمنس بر متر به دست آمد. بنابراین، در مناطقی که دسترسی به منابع آب با کیفیت متفاوت وجود دارد می‌توان از آنها برای آبیاری شنبه‌لیه در مراحل اولیه رشد از آب شور و به تدریج در مراحل بعدی رشد از آب‌های با کیفیت بهتر استفاده کرد.

**واژه‌های کلیدی:** مدل‌های تجربی تحمل به شوری، شاخص تحمل به شوری، آب شور، خاک شور، گیاهان دارویی

\* - آدرس ایمیل نویسنده مسئول: [mh\\_banakar@yahoo.com](mailto:mh_banakar@yahoo.com)

استناد: بنکار، م.ح، امیری، ح، رنجبر، غ، بابایی زارچ، م.ح، ۱۴۰۴. حد آستانه تحمل شوری و شبکه کاهش عملکرد شنبه‌لیه (*Trigonella foenum-graecum L.*) در مراحل مختلف رشد. مقاله پژوهشی، نشریه پژوهش‌های خاک، (۱)، ۳۹، ۵۳-۷۳.



## مقدمه

گزارش شده است که شبکه شنبیله در مرحله جوانه‌زنی می‌تواند تنفس شوری تا  $1/2 \text{ MPa}$  را تحمل کند (رومانتی و احتشامی، ۱۳۹۳). دادخواه (۱۳۸۹)، در آزمایشی تاثیر تنفس شوری ( $0/81 \text{ MPa}$ ،  $-0/59$ ،  $-0/37$ ) و نوع نمک را بر جوانه‌زنی و رشد گیاهچه چند گیاه دارویی از جمله شبکه شنبیله مطالعه کرده و نشان داد که کاهش پتانسیل آب تا  $0/59 \text{ MPa}$  - تاثیر زیادی بر درصد جوانه‌زنی بذر شبکه شنبیله است، اما کاهش بیشتر، جوانه‌زنی را بهشت کاهش داد. زهیر و حسین (۲۰۱۱)، کاهش  $62$  درصدی جوانه‌زنی شبکه شنبیله را در شوری  $15 \text{ dS.m}^{-1}$  گزارش کردند. همچنین، در آزمایشی، جوانه‌زنی شبکه شنبیله در سطوح مختلف شوری و خشکی ( $9$ ،  $6$ ،  $3$ - بار) مطالعه و نشان داده شد که اعمال خشکی  $6$ - بار و شوری  $3$ - بار موجب کاهش معنی‌دار جوانه‌زنی گردید (قربان‌پور و همکاران، ۲۰۱۱). شرما و ویمالا (۲۰۱۶)، جوانه‌زنی و رشد دانه‌رسانها را در شبکه شنبیله تحت تنفس شوری مطالعه کرده و نشان دادند که تمام بذرها تا شوری  $100 \text{ mM}$  کلرید سدیم جوانه‌زنده، اما در شوری  $200 \text{ mM}$  میزان جوانه‌زنی  $60$  درصد کاهش پیدا کرد. بنکار و همکاران (۱۴۰۰) اثرات تنفس شوری را در مرحله جوانه‌زنی روی چندین توده شبکه شنبیله مطالعه کرده و نشان دادند که توده‌های مختلف شبکه شنبیله از نظر تحمل به شوری متفاوت بودند. همچنین، افزایش شوری تا سطح  $6 \text{ dS.m}^{-1}$  بر درصد جوانه‌زنی بذر تاثیری نداشت، لیکن با اعمال سطوح شوری بالاتر، درصد جوانه‌زنی به تدریج شروع به کاهش یافتند کرد، بطوری که اعمال شوری  $24$  و  $27 \text{ dS.m}^{-1}$ ، درصد جوانه‌زنی بذر را به ترتیب به میزان  $29/8$  و  $80/81$  درصد نسبت به شاهد کاهش داد (بنکار و همکاران، ۱۴۰۰). عبدالمومن و مصباح الادریسی (۲۰۰۹)، گزارش کردند که جوانه‌زنی بذرهاش شبکه شنبیله تا شوری  $140 \text{ mM}$  کلرید سدیم تحت تاثیر قرار نگرفته لیکن سطوح بالاتر شوری موجب کاهش معنی‌دار جوانه‌زنی گردید.

مطالعات سطوح مختلف شوری ( $15 \text{ dS.m}^{-1}$ ،  $12/5$ ،  $10$ ،  $7/5$ ،  $5$ ،  $0/21$ ) روی پارامترهای رشد شبکه شنبیله نشان

کشت و تولید گیاهان دارویی به عنوان یکی از گزینه‌ها در بهره‌برداری از منابع آب و خاک شور مطرح بوده است. شبکه شنبیله (Trigonella Foenum-graecum L.) یکی از گیاهان دارویی است که در طب سنتی ایران و جهان سابقه مصرف طولانی داشته و خواص درمانی فراوانی برای آن ذکر شده است (حسن‌زاده و همکاران، ۱۳۸۹). این گیاه دارای آکالولئیدی بنام تریگونولین است (زرگری، ۱۳۷۱؛ حسن‌زاده و همکاران، ۱۳۸۹؛ پتروپولوس، ۲۰۰۲). تریگونولین، خواص دارویی مهمی نظیر ضد سرطان، ضد میگرن، ضد عفونی کنندگی، پایین آورنده چربی خون و ضد دیابت را دارا می‌باشد. پژوهش‌کان ایرانی و عرب از زمان‌های قدیم از دانه شبکه شنبیله برای مداوای بیماری قند استفاده می‌کردند (ولکمار و همکاران، ۱۹۹۷؛ مهرآفرین و همکاران، ۱۳۹۰).

بررسی منابع نشان می‌دهد که شبکه شنبیله از نظر تحمل به شوری مورد توجه بوده و پژوهش‌های متعدد و پراکنده‌ای بر روی آن انجام شده است. اغلب پژوهش‌های انجام شده در زمینه اثرات تنفس شوری روی شبکه شنبیله، اغلب در مرحله جوانه‌زنی و یا مراحل اولیه رشد رویشی بوده و تعداد اندکی از آنها رشد زایشی و عملکرد گیاه را در بر گرفته‌اند. این در حالی است که مرحله سبز شدن که به دنبال مرحله جوانه‌زنی رخ داده و به خروج گیاهچه از خاک منجر می‌گردد، در مطالعات تنفس شوری در شبکه شنبیله کمتر مورد توجه واقع شده است. از نظر تحمل یا حساسیت به شوری، سه مرحله نموی در گیاهان قابل تشخیص است که شامل جوانه‌زنی، رشد رویشی و رشد زایشی می‌باشد. گفته می‌شود تحمل به شوری ممکن است به طور قابل ملاحظه‌ای در طی رشد و نمو گیاه تغییر کند. بسیاری از شواهد بیانگر این هستند که در اغلب گیاهان زراعی مرحله جوانه‌زنی متحمل به نمک است، لیکن، مرحله رشد رویشی به نمک حساس می‌باشد (هاجمیر، ۱۹۹۷؛ بنکار و همکاران، ۲۰۲۲).

کارایی مصرف آب به ترتیب به میزان ۱۶/۹۷، ۱۴/۶۲ و ۱۴/۷۰ درصد کاهش داد (بناکار و همکاران، ۱۴۰۰ج). به علاوه، معلوم شد که ادامه تنفس شوری تا مرحله رشد زایشی تاثیر معنی‌داری بر عملکرد و اجزای عملکرد دانه شنبیله داشت. تنفس شوری، طول نیام، وزن نیام، تعداد دانه در نیام، تعداد نیام در بوته، تعداد دانه پر در بوته، نسبت دانه پر به پوک، وزن خشک اندام هوایی، وزن کاه، وزن هزار دانه، عملکرد دانه، شاخص برداشت و کارایی مصرف آب را کاهش و در مقابل، درصد دانه پوک، میزان تریگونلین و آلکالولئید کل دانه را افزایش داد. (بناکار و همکاران، ۱۳۹۹).

در مطالعات تحمل به شوری، مدل‌های تجربی مختلفی برای بررسی واکنش گیاهان به شوری مورد استفاده قرار گرفته‌اند. برخی از این مدل‌ها واکنش به شوری را به صورت خطی توصیف کرده و برای آن پارامترهای حد آستانه تحمل به شوری و شبکه کاهش عملکرد را در نظر گرفته‌اند. برخی دیگر از مدل‌ها واکنش به شوری را به صورت غیر خطی پیش‌بینی کرده و شکل سیگموئیدی یا نمایی را برای آن در نظر گرفته‌اند (بناکار و همکاران، ۲۰۲۲). با توجه به اینکه تحمل به شوری در مراحل مختلف رشد و نمو گیاه متفاوت است، هدف از انجام این تحقیق ارزیابی واکنش به شوری توده اصفهانی شنبیله در مراحل مختلف رشد بود. در این تحقیق، در هر یک از مراحل رشدی، حد آستانه تحمل به شوری و شبکه کاهش عملکرد دانه به ازای هر واحد افزایش شوری با استفاده از مدل خطی (ماس و هافمن، ۱۹۷۷). برآورده گردید و در هر مرحله شاخص تحمل به شوری شنبیله محاسبه شد و واکنش آن به شوری برای مراحل رشدی مختلف با استفاده از مدل‌های خطی و غیرخطی تجربی مورد ارزیابی و مقایسه قرار گرفت.

## مواد و روشها

به منظور بررسی واکنش شنبیله به شوری در مراحل مختلف رشد (جوانه‌زنی، سبز شدن، رشد رویشی، رشد

داد که تمام گیاهچه‌های شنبیله تا شوری  $7/5 \text{ dS.m}^{-1}$  زنده بودند؛ لیکن در شوری‌های بالاتر، زنده‌مانی گیاهچه‌ها به تدریج کاهش یافت (زهیر و حسین، ۲۰۱۰). تنفس شوری رشد توده‌های مختلف شنبیله را تحت تاثیر قرار داد و موجب کاهش وزن ریشه و اندام هوایی گردید (ارچنگی و همکاران، ۱۳۹۱؛ فرهادی و عزیزی، ۱۳۹۵؛ ناصری و همکاران، ۱۳۹۵؛ برهوبی و صباح، ۲۰۱۷؛ سینده‌هو و همکاران، ۲۰۱۷؛ نوح‌پیشه و همکاران، ۱۳۹۹). چودهاری و همکاران (۲۰۱۴) نشان دادند که در مرحله جوانه‌زنی هنگامی که شوری خاک از  $4 \text{ dS.m}^{-1}$  بالاتر رفت میزان تلفات دانه‌رست‌های شنبیله به مقدار زیادی تحت تاثیر قرار گرفت. لیکن، در مراحل بعدی رشد تا زمان رسیدگی توانست شوری بالاتر ( $12-4 \text{ dS.m}^{-1}$ ) را تحمل کند. در زمان رسیدگی اعمال تنفس شوری  $12 \text{ dS.m}^{-1}$  نتوانست تاثیر قابل توجهی بر بقا گیاهان داشته باشد. این آزمایش نشان داد که اعمال شوری بالاتر از  $8 \text{ dS.m}^{-1}$  طی جوانه‌زنی و مرحله رشد رویشی ممکن است عملکرد محصول را  $30-40$  درصد کاهش دهد (چودهاری و همکاران، ۲۰۱۴). اخیراً در یک آزمایش نشان داده شد که در شنبیله مرحله سبز شدن گیاهچه نسبت به مرحله جوانه‌زنی به شوری حساس‌تر است؛ بطوری‌که در بررسی واکنش توده‌های مختلف شنبیله به شوری، توده هندی بیشترین مقدار درصد و سرعت سبز شدن و شاخص بنیه گیاهچه را دارا بود (بناکار و همکاران، ۱۴۰۰ب).

نشان داده شده است که شوری بسیاری از فرایندهای متابولیکی و فیزیولوژیکی را در شنبیله تحت تاثیر قرار داده و باعث کاهش رشد و عملکرد می‌گردد (بناکار و همکاران، ۲۰۲۲). بناکار و همکاران (۱۴۰۰ج) در آزمایشی نشان دادند که اعمال تنفس شوری در مرحله رشد رویشی برخی صفات مورفولوژیک شنبیله را تحت تاثیر قرار داده و در مجموع موجب ارتفاع بوته، تعداد برگ در بوته، طول میانگره و سطح برگ را به ترتیب به میزان ۲۷/۶۶، ۱۸/۰۳، ۱۸/۰۳ و  $46/91$  و  $54/21$  درصد گردید. تنفس شوری، همچنین، نسبت ریشه به اندام هوایی، محتوی آبی و

داخل گلدانهای پلاستیکی به ابعاد  $۱۵*۱۲$  سانتیمتر در عمق  $۱/۵$  سانتیمتری در محیط شن قرار گرفتند. تیمار شوری شامل هفت سطح ( $۱۸, ۱۵, ۱۲, ۹, ۶, ۳, ۰/۵$  dS.m<sup>-1</sup>) بود که از طریق مخلوط کردن آب شرب و آب بسیار شور (با هدایت الکتریکی حدود  $۵۰۰$  dS.m<sup>-1</sup>) حاصل گردید. برای تخمین کسر آبشویی از روش ارائه شده توسط آیرز و وسکات (۱۹۸۹) استفاده شد. با معلوم بودن هدایت الکتریکی آب آبیاری و آب زهکش شده و همچنین حجم آب آبیاری و آب زهکش شده، با استفاده از معادله پیشنهادی آیرز و وسکات (۱۹۸۹) کسر آبشویی تخمین زده شده و از آن برای محاسبه حجم آب مورد نیاز برای آبیاری و شستشوی املاح اضافی و جلوگیری از تجمع آنها در منطقه توسعه ریشه استفاده شد. در هر کسر آبشویی، مقداری تحت عنوان عامل غلظت (X) را می‌توان محاسبه کرد که با متوسط شوری خاک منطقه ریشه (ECe) و شوری آب آبیاری (ECiw) به صورت  $ECe = ECiw * X$  در ارتباط است. کسر آبشویی شده واقع درصدی از حجم آب آبیاری است که آبشویی شده و عملانه از زیر منطقه ریشه خارج شده است. در طول یک دوره سه هفته‌ای، تعداد بذور سبز شده بطور روزانه در ساعت معین شمارش شدند. طرح آماری مورد استفاده به صورت کاملاً تصادفی با سه تکرار بود. در این تحقیق، حد آستانه تحمل به شوری و شبکه کاهش سبز شدن به ازای هر واحد افزایش شوری برآورد گردید و شاخص تحمل به تنفس شوری شنبیله در مرحله سبز شدن مشخص گردید.

ج) ارزیابی تحمل به شوری در مرحله رشد رویشی و زایشی: بذرهای شنبیله پس از ضدغونی در گلدانهای پلاستیکی به ارتفاع  $۳۰$  cm و قطر دهانه  $۲۵$  cm پرشده با  $۸$  کیلوگرم خاک دارای بافت لوم شنی (جدول ۱) در عمق  $۲$  سانتیمتری کشت شد.

زایشی)، پژوهشی در آزمایشگاه و گلخانه مرکز ملی تحقیقات شوری انجام گرفت. توده شنبیله مورد بررسی در این پژوهش، توده اصفهانی بود که بذرهای آن از شرکت پاکان بذر اصفهان تهیه شد.

الف) ارزیابی تحمل به شوری در مرحله جوانه زنی: این مرحله، در آزمایشگاه مرکز ملی تحقیقات شوری در قالب طرح آماری کاملاً تصادفی با سه تکرار انجام گرفت. تعداد  $۳۰$  عدد بذر یکاندازه، سالم و یکنواخت پس از شستشو با محلول هیپوکلریت سدیم  $۰/۰۵\%$  و آب مقطار، در داخل پتی دیش‌های نه سانتیمتری حاوی کاغذ صافی و اتمن شماره یک قرار گرفته و به هر پتی دیش مقدار  $۵$  ml آب با هدایت‌های الکتریکی مورد نظر افزوده و درب آنها بسته شد. تیمار شوری شامل ده سطح  $(۲۷, ۲۴, ۲۱, ۱۸, ۱۵, ۹, ۶, ۳, \text{ شاهد})$  بود که از طریق مخلوط کردن آب مقطار و آب شور چاه زیرزمینی مزرعه تحقیقات شوری صدقه با هدایت الکتریکی  $۱۴$  dS.m<sup>-1</sup> حاصل گردید. بعد از افزودن آب، پتی دیش‌ها در داخل ژرمیناتور با دمای  $۲۰/۲۵^{\circ}\text{C}$  رطوبت نسبی  $۶۰\%$  و دوره نوری  $16/8\text{ h}$  قرار گرفتند. طرح آماری مورد استفاده به صورت کاملاً تصادفی با سه تکرار بود. در هر روز، تعداد بذرهای جوانه‌زده به مدت دو هفته در ساعت معین شمارش شد. در پایان، حد آستانه تحمل به شوری و شبکه کاهش جوانه‌زنی به ازای هر واحد افزایش شوری با استفاده از مدل خطی ارائه شده توسط ماس و هافمن (۱۹۷۷) برآورد گردید. همچنین، شاخص تحمل به تنفس شوری و روند واکنش تحمل به شوری شنبیله در مدل خطی با سایر مدل‌های غیر خطی تجربی (استفن و همکاران،  $۲۰۰/۵$ ؛ استفن و همکاران،  $۲۰۰/۲$ ؛ وانگنوختن و هافمن،  $۱۹۸۴$ ) مورد مقایسه و ارزیابی قرار گرفت.

ب) ارزیابی تحمل به شوری در مرحله سبز شدن: به منظور بررسی واکنش شنبیله به شوری در مرحله سبز شدن، آزمایشی در گلخانه تحقیقاتی مرکز ملی تحقیقات شوری انجام گرفت. بذرهای شنبیله پس از ضدغونی

جدول ۱- خصوصیات فیزیکی و شیمیایی خاک مورد استفاده قبل از آبشویی

ویژگی	واحد	ناماد	واحد	مقدار	ویژگی	واحد	ناماد	واحد	مقدار
هدایت الکتریکی	dS.m <sup>-1</sup>	EC	-	11.91	نسبت جذب سدیم	-	SAR	-	7.37
واکنش خاک	-	pH	-	7.48	مواد آلی	%	O.M.	%	0.02
کربنات	Meq/lit	CO <sub>3</sub> <sup>-2</sup>	-	0.00	نیتروژن کل	%	T.N.	%	0.001
بی‌کربنات	Meq/lit	HCO <sub>3</sub> <sup>-</sup>	-	1.21	فسفر قابل جذب	mg/kg	P <sub>av</sub>	mg/kg	6.64
کلر	Meq/lit	Cl <sup>-</sup>	-	61.8	پتانسیم قابل جذب	mg/kg	K <sub>av</sub>	mg/kg	155
سولفات	Meq/lit	SO <sub>4</sub> <sup>2-</sup>	-	66.54	شن	%	Sand	%	80.36
کلسیم محلول	Meq/lit	Ca <sup>2+</sup>	-	61.1	سیلت	%	Silt	%	8.64
منیزیم محلول	Meq/lit	Mg <sup>2+</sup>	-	21.18	رس	%	Clay	%	11
سدیم	Meq/lit	Na <sup>+</sup>	-	47.3	بافت خاک	-	شنبه لوم	بافت	
پتانسیم محلول	Meq/lit	K <sup>+</sup>	-	اندک	نسبت جذب سدیم	-	SAR	-	7.38

حجم و قابلیت هدایت الکتریکی آب آبیاری و نیز حجم و قابلیت هدایت الکتریکی آب زهکش شده در تمام عملیات آبیاری برای هر یک از تیمارها، اندازه‌گیری شد. برای اندازه‌گیری هدایت الکتریکی از دستگاه EC (dS.m<sup>-1</sup>)، دستگاه LF318 (مدل WTW، آلمان) پرتابل استفاده شد. در این پژوهش مجموع دفعات آبیاری و کل حجم آب مصرفی در طول آزمایش برای تمام سطوح شوری یکسان نبود، به‌طوری‌که در سطوح پایین شوری گیاهان آب بیشتر و با فاصله کمتری دریافت می‌کردند، لیکن به‌تدريج با افزایش شوری آب آبیاری، میزان حجم آب مصرفی و دفعات آن کاهش می‌یافتد. در پایان آزمایش، به‌منظور تعیین هدایت الکتریکی عصاره اشباع خاک، از مته مخصوص نمونه‌برداری خاک هر یک از تیمارها استفاده شد. در جدول ۲، حجم آب مصرفی و متوسط شوری عصاره اشباع خاک در عمق توسعه ریشه در طول فصل رشد درج شده است.

گلدان‌ها پس از پر شدن با خاک به درون گلخانه تحقیقاتی با دمای حداقل ۲۰°C و حداقل ۲۵°C متقل شدند. قبل از کاشت، با توجه به شوری زیاد خاک (۱۱/۹۱ dS.m<sup>-1</sup>)، عملیات آبشویی با آب غیر شور انجام شد، به‌طوری‌که شوری عصاره اشباع خاک پس از آبشویی به ۳/۸۱ dS.m<sup>-1</sup> کاهش یافت. پس از کاشت و سبز شدن بذور، تا مرحله پنج برگی آبیاری گلدان‌ها با آب غیر شور انجام گرفت و تیمارهای شوری آب (۱۲، ۱۰، ۹، ۶، ۴، ۲)، ۰/۵ dS.m<sup>-1</sup> اعمال شدند. برای جلوگیری از آسیب شوک به گیاهان، تیمارهای شوری به‌تدريج تا رسیدن به سطح شوری مورد نظر اعمال گردید. طرح آماری به صورت بلوک‌های کامل تصادفی با سه تکرار بود. این تیمارها از طریق اختلاط آب‌شور زیرزمینی (با هدایت الکتریکی ۱۴ dS.m<sup>-1</sup>) و آب شرب حاصل شد. اعمال تیمار شوری و آبیاری گلدان‌ها با توجه به تغییرات وزن آن‌ها و نیاز آبشویی تا رسیدن به ظرفیت زراعی بود. برای این منظور، رطوبت خاک در حالت ظرفیت زراعی و نقطه پذمردگی دائم توسط دستگاه صفحات فشاری (Pressure Soil Apparatus، مدل ۱۵۰۰، ساخت شرکت Plate Apparatus، آمریکا)، اندازه‌گیری شد. برای کنترل شوری خاک و جلوگیری از تجمع نمک در ناحیه توسعه ریشه، میزان شوری عصاره توسط دستگاه سنجش شوری خاک (Soil Salinity Bridge، مدل ۵۵۰۰، ساخت شرکت Soil Moisture، آمریکا)، تعیین شد.

جدول ۲- هدایت الکتریکی آب آبیاری، حجم آب مصرفی و متوسط شوری عصاره اشبع خاک در طول فصل رشد

هدایت الکتریکی (dS.m⁻¹)	کل حجم آب مصرفی (lit)	متوسط قابلیت هدایت الکتریکی عصاره اشبع خاک (dS.m⁻¹)			
		تکرار ۱	تکرار ۲	تکرار ۳	میانگین
0.5	75.01	1.46	1.37	1.37	1.40
2	62.99	3.52	3.48	3.57	3.52
4	54.01	5.40	5.45	5.43	5.43
6	47.88	7.15	6.97	7.30	7.14
8	37.38	9.36	8.82	9.36	9.18
10	32.34	10.69	10.70	10.41	10.60
12	30.24	11.51	11.56	11.62	11.56

(۱)

$$Y=100 - 1 (EC-a_0)$$

در این پژوهش برخی مدل‌های غیرخطی نیز آزمون شدند. بر اساس مدل وانگنوتختن و هافمن (۱۹۸۴) عملکرد نسبی از همان ابتدا به صورت غیرخطی شروع به کاهش کرده و در نقطه  $EC_{50}$  مقدار آن به ۵۰٪ کاهش می‌یابد (معادله ۲). در این رابطه،  $Y_m$  عملکرد حداکثر در شرایط غیر شور بوده و  $p$  یک ضریب تجربی است که همیشه زیادتر از یک است.

$$Y=Y_m \quad (2)$$

$$/ [(1 + (EC / EC_{50})^p)]$$

علاوه بر مدل غیرخطی فوق، با استفاده از معادله چند جزئی نزولی تغییریافته (استفن و همکاران ۲۰۰۵) مدل دیگری آزمون شد که در آن کاهش عملکرد در اثر افزایش شوری به صورت غیرخطی است (معادله ۳). پارامتر  $s$  در این رابطه شبک منحنی است که از قدر مطلق مشتق تغییرات عملکرد نسبی به تغییرات شوری محیط  $(dY/dEC)$  به دست می‌آید. همچنین، عبارت نمایی  $(EC_{50})^{(s)}$  میزان برآمدگی و یا فرورفتگی دو طرف منحنی را نسبت به  $EC_{50}$  نشان می‌دهد.

$$Y=Y_m / \quad (3)$$

$$[(1 + (EC / EC_{50}))^{(s, EC_{50})}]$$

همچنین، با معلوم بودن مقادیر  $EC_{50}$  و  $s$ ، شاخص تحمل به شوری شنبیله در مرحله رشد رویشی مطابق معادله ۴ محاسبه شد (استفن و همکاران ۲۰۰۵). با محاسبه شاخص تحمل به شوری، روند واکنش تحمل به

سه ماه پس از کاشت در انتهای مرحله رشد رویشی میزان عملکرد ماده خشک بخش هوایی در تیمارهای مختلف اندازه‌گیری شد. به منظور بررسی واکنش شنبیله شوری از نظر عملکرد دانه، شش ماه پس از کاشت گیاهان در خرداد ماه در انتهای مرحله رشد زایشی برداشت شدند و عملکرد دانه اندازه‌گیری شد. طرح آماری مورد استفاده به صورت کاملاً تصادفی با سه تکرار بود. در این مرحله، حد آستانه تحمل به شوری و شبک کاهش سبز شدن به ازای هر واحد افزایش شوری برآورد گردید و شاخص تحمل به تنش شوری شنبیله در مراحل رشد رویشی و زایشی تعیین گردید.

## نتایج و بحث

در این پژوهش، تحمل به شوری شنبیله در مراحل مختلف رشد با استفاده از مدل‌های تجربی مورد ارزیابی قرار گرفت. در مدل سه‌قسمتی پیشنهادی توسط ماس و هافمن (۱۹۷۷) حد آستانه تحمل به شوری و شبک کاهش عملکرد (جوانه‌زنی، سبز شدن، وزن خشک اندام هوایی و عملکرد دانه) به ازای افزایش هر واحد شوری تعیین شد. در این مدل پیشنهادی، هنگامی که شوری (EC) بین صفر و حد آستانه ( $a_0$ ) باشد، عملکرد نسبی  $(Y)$  برابر ۱۰۰ درصد است. لیکن، در شوری‌های بالاتر از حد آستانه عملکرد نسبی با شبک ثابتی (۱) به صورت خطی شروع به کاهش می‌کند (معادله ۱):

بذر به میزان  $10/37$  درصد کاهش پیدا می‌کند. بنابراین، پیش‌بینی می‌شود کاهش  $25$ ،  $50$  و  $75$  درصد جوانه‌زنی  $dS.m^{-1}$  به ترتیب در سطوح شوری  $22/7$ ،  $25/1$  و  $27/6$ <sup>۱</sup> رخ داده و در سطح شوری  $30$   $dS.m^{-1}$  جوانه‌زنی بذر کاملاً متوقف گردد (جدول ۳). همانطور که در شکل ۱ نشان داده شده است حد آستانه تحمل به شوری شبیله در مرحله جوانه‌زنی بالا و شبیه کاهش میزان جوانه‌زنی نیز بالاست. این امر موجب می‌شود در شوری‌های بالاتر از حد آستانه کاهش  $25$ ،  $50$  و  $75$  درصد جوانه‌زنی در سطوح شوری نزدیک به هم مشاهده شود و با شبیه نسبتاً شدیدی دنبال شود.

شوری در مدل خطی با سایر مدل‌های غیرخطی تجربی مطالعه و ارزیابی شد.

#### ST-index<sup>(۴)</sup>

$$= EC_{50} + s \cdot EC_{50}$$

الف) تحمل به شوری شبیله در مرحله جوانه‌زنی

در این تحقیق مدل‌های مختلف تجربی برای ارزیابی واکنش شبیله به شوری در مرحله جوانه‌زنی مورد بررسی قرار گرفت. بر اساس مدل خطی ارائه شده توسط ماس و هافمن (۱۹۷۷)، حد آستانه تحمل به شوری شبیله  $10/37 dS.m^{-1}$  و شبیه کاهش جوانه‌زنی آن  $20/2$  درصد به دست آمد (جدول ۳). این بدان معنی است که با افزایش هر واحد شوری بالاتر از حد آستانه، جوانه‌زنی

جدول ۳- معادلات برآش داده شده مدل‌های مختلف تجربی برای ارزیابی واکنش توده اصفهانی شبیله به تنفس شوری در مرحله جوانه‌زنی

نوع مدل	معادله برآش داده شده	معادله مرتع	r	مرجع
مدل سه قسمتی خطی	$Y=100-10.37*(EC-20.32)$	$Y=100-l*(EC-a_0)$	0.581	Maas and Hoffman, 1977
مدل سیگموئیدی	$Y=Y_m/[(I+(EC/EC_{50}))^p]$	$Y=Y_m/[(I+(EC/25.81))^{3.52}]$	0.997	Van Genuchten and Hoffman, 1984
مدل سیگموئیدی تغییر یافته	$Y=Y_m/[(I+(EC/25.63))^{exp_{0.256}}]$	$Y=Y_m/[(I+(EC/EC_{50}))^{exp_{s*EC_{50}}}]$	0.997	Steppuhn, Van Genuchten and Grieve, 2005a
مدل عامل نمایی دوگانه	$Y=100*exp[-0.015(EC)-0.0015(EC)^2]$	$Y=100*exp[a(EC)-b(EC)^2]$	0.882	Wang <i>et al.</i> , 2002

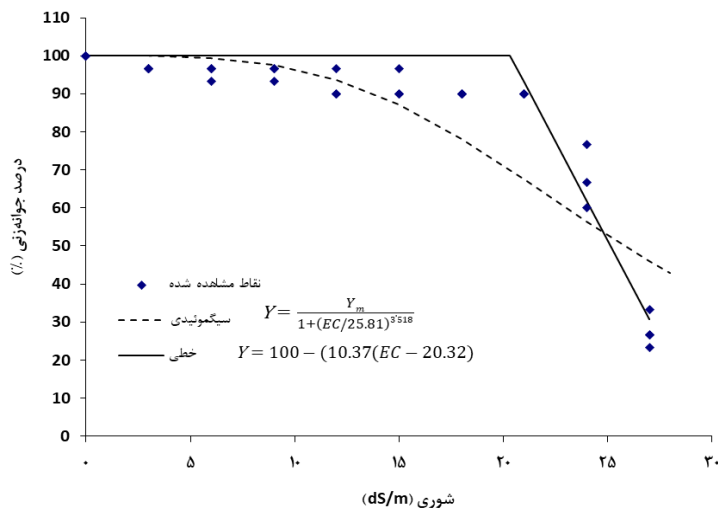
در این معادلات  $EC$ ،  $Y$ ،  $Y_m$  به ترتیب عملکرد حداکثر، عملکرد نسبی (%)، متوسط شوری عصاره اشباع خاک در طول فصل رشد ( $dS.m^{-1}$ )، شوری عصاره اشباع خاک به ازای  $50\%$  کاهش عملکرد ( $dS.m^{-1}$ ) می‌باشند. همچنین،  $a_0$ ،  $l$  و  $s$  به ترتیب حد آستانه تحمل به شوری، شبیه خط، ثابت تجربی و شبیه منحنی بوده و مقادیر  $a$  و  $b$  ضرایب ثابت هر معادله می‌باشند.

شوری که در آن بذور شبیله به مقدار  $50$  درصد جوانه می‌زند ( $EC_{50}$ ) نزدیک به مقادیر  $EC_{50}$  پیش‌بینی شده به وسیله مدل سیگموئیدی معمولی (وانگنوختن و هافمن، ۱۹۸۴) بود. مقایسه مقادیر  $EC_{50}$  پیش‌بینی شده به وسیله مدل سیگموئیدی با مدل خطی سه قسمتی، نشان داد که مقدار شوری که در آن درصد جوانه‌زنی بمیزان  $50$  کاهش می‌یابد برای توده اصفهانی شبیله مشابه مدل سیگموئیدی ( $25/8 dS.m^{-1}$ ) و معادل  $25/1 dS.m^{-1}$  بود (شکل ۱).

(شکل)

سایر مدل‌های ارائه شده در جدول ۳، واکنش به شوری شبیله را در مرحله جوانه‌زنی به صورت غیر خطی پیش‌بینی می‌کنند. در مدل‌های غیر خطی، با افزایش هر سطح شوری میزان جوانه‌زنی بذر بطور تدریجی از همان ابتدا شروع به کاهش یافتن می‌کند (شکل ۱). بر اساس مدل سیگموئیدی، حدی از شوری که در آن بذور شبیله به مقدار  $50$  درصد جوانه می‌زند ( $EC_{50}$ )، برابر  $25/8 dS.m^{-1}$  بود (جدول ۳).

بر اساس مدل سیگموئیدی تغییر یافته (استفن و همکاران، ۲۰۰۵الف؛ استفن و همکاران، ۲۰۰۵ب)، مقدار



شکل ۱- نمودار واکنش توده اصفهانی شنبیله به شوری در مرحله جوانهزنی بر اساس مدل‌های خطی و سیگمونیدی

کاهش درصد جوانهزنی نیز از توده هندی (۲۹/۱۷ درصد) بدست آمد (بناکار و همکاران، ۱۴۰۰ الف). بر اساس نتایج این تحقیق، حد آستانه تحمل به شوری توده اصفهانی شنبیله  $20/3$   $dS.m^{-1}$  با شبکه کاهش  $10/37$  درصد بدست آمد. کمترین مقدار را از آن خود کرد. پایین بودن شبکه کاهش مزیت مهمی است و سبب می‌شود در مواجهه با شوری‌های بالاتر از حد آستانه، کاهش رشد با آهنگ به مراتب خفیفتری دنبال گردد. این امر موجب می‌شود کاهش  $50$  درصد عملکرد برای توده‌هایی که شبکه کاهشی ملایم‌تری دارند در سطح شوری‌های بالاتر اتفاق افتد. در تایید این موضوع، برآذش نتایج مدل‌های غیر خطی نیز نشان داد که در توده اصفهانی شنبیله بیشترین شوری که در آن بذور به مقدار  $50$  درصد جوانه می‌زند (EC<sub>50</sub>) در شوری  $25/8$   $dS.m^{-1}$  حاصل گردید. نتایج محاسبه شاخص تحمل به شوری برای شنبیله نشان داد که مقدار این شاخص برای توده اصفهانی  $29/15$  حاصل گردید. شاخص تحمل به شوری شنبیله بسته به نوع توده و رقم متفاوت است. شاخص تحمل به شوری برای توده‌های مشهدی، هندی و اردستانی به ترتیب  $25/95$ ،  $29/24$  و  $26/5$  بدست آمد. بنابراین، توده اصفهانی شنبیله از نظر شاخص تحمل به شوری بسیار

جوانهزنی مهمترین مرحله رشدی گیاه است و تنفس شوری می‌تواند مقدار و سرعت آن را محدود سازد. عقیده بر این است که اثرات مضر نمک روی جوانهزنی بذر ناشی از اثرات سمی تجمع برخی یون‌ها باشد که در غلظت‌های بالا موجب کاهش پتانسیل آب در محیط، کاهش جذب آب توسط بذرها در حال جوانهزنی و نهایتاً کاهش درصد و سرعت جوانهزنی می‌شود. برخی محققین معتقدند که اثر محدودکننده شوری روی جوانهزنی ناشی از جزء اسمزی املاح محلول است، در حالی که برخی دیگر بر این باورند که اثرات سمی نمک نقش اصلی را در کاهش جوانهزنی بذرها بر عهده دارد (شrama و Wimala، ۲۰۱۶). معلوم شده است که غلظت‌های بالای نمک هموئیتازی اسمزی و یونی را برهم زده و موجب کاهش قابلیت دستری به آب برای بذر و کاهش جوانهزنی و به تأخیر اندختن آن می‌گردد (تستر و داونپورت، ۲۰۰۳). نتایج برآذش مدل‌های مختلف شنبیله برای ارزیابی تحمل به شوری توده‌های مختلف شنبیله نشان داد که تحمل به شوری شنبیله بین توده‌های مختلف متفاوت بود. بر اساس مدل خطی ارائه شده توسط ماس و هافمن (۱۴)، بیشترین حد آستانه تحمل به شوری از توده هندی ( $24/2$   $dS.m^{-1}$ ) و کمترین آن از توده مشهدی ( $20/2$   $dS.m^{-1}$ ) حاصل گردید، بیشترین مقدار شبکه

آستانه تحمل به شوری ( $dS.m^{-1}$ ) ۲۴/۲ از توده هندی شبیله حاصل گردید (بناکار و همکاران، ۱۴۰۰ الف)، لیکن، بر اساس نتایج این تحقیق و با در نظر گرفتن سایر صفات به ویژه شاخص بنیه بذر، طول دانه‌رس است و شاخص تحمل به شوری (ST-index) می‌توان در مرحله جوانه‌زنی توده اصفهانی شبیله را به عنوان یک توده متحمل به شوری در نظر داشت.

**جدول ۴- ضرایب معادله سیگموئیدی و شاخص تحمل به شوری (ST-index) توده اصفهانی شبیله در مرحله جوانه‌زنی**

ST-index	شاخص تحمل به شوری	Exp(s*EC <sub>50</sub> )	ضریب S	EC <sub>50</sub> (dS.m <sup>-1</sup> )
29.15		3.52	0.0490	25.6

است که این امر می‌تواند به تعییر در توازن هورمون‌های گیاهی نسبت داده شود (هاجمیر، ۱۹۹۷). در شرایط شور، مرحله سبز شدن گیاه مرحله‌ای بحرانی محسوب می‌گردد. به دلیل اینکه آب توسط نیروی اسمزی در محلول خاک قرار دارد، غلظت بالای نمک می‌تواند در جذب آب توسط بذر و فرآیند جوانه‌زنی اختلال ایجاد کرده و در نتیجه درصد سبزشدن را کاهش دهد (رنجبر و قدیری، ۱۳۹۵). گزارش شده است که برخی گیاهان در زمان جوانه‌زنی نسبت به زمان سبز شدن و استقرار بوته، به شوری متحمل‌تر می‌باشند (رنجبر و همکاران، ۱۳۹۲). با این حال تنفس شوری سرعت جوانه‌زنی را به میزان قابل توجهی کاهش می‌دهد. کاهش سرعت جوانه‌زنی می‌تواند ظهور کلئوپتیل در سطح خاک را به تأخیر بیاندازد. تأخیر در سبز شدن گیاهچه به ویژه زمانی که با سله شدید خاک همراه باشد؛ می‌تواند به کاهش تعداد گیاهچه‌های سبز شده منجر گردد. از طرف دیگر به دلیل اینکه تبخیر معمولاً از سطح خاک و لایه هایی از خاک که بذر در آن قرار دارد بیشتر از عمق‌های پایین خاک می‌باشد، گیاهچه‌های جوان در معرض تنفس شوری بالاتری قرار گرفته، در نتیجه مرگ و میر بوته‌ها افزایش می‌یابد (رنجبر و همکاران، ۱۳۹۲). نتایج مشابهی از تأثیر منفی شوری بر درصد سبز شدن بذور کوشیا گزارش شد که در آن اعمال شوری ۱۰ و

نزدیک به توده هندی می‌باشد (بناکار و همکاران ۱۴۰۰ الف).

نتایج این تحقیق نشان داد که شبیله در مرحله جوانه‌زنی به تنفس شوری متحمل است بطوری که بذرهای شبیله می‌توانند تا شوری  $dS.m^{-1}$  ۲۱/۸ بدون هیچگونه کاهش قابل توجهی در درصد جوانه‌زنی، جوانه بزندند. اگرچه نتایج آزمایشات قبل نشان داد که بیشترین حد

ب) تحمل به شوری شبیله در مرحله سبز شدن مطابق با مدل خطی ارائه شده توسط ماس و هافمن (۱۹۷۷)، حد آستانه تحمل به شوری شبیله در مرحله سبز شدن (ظهور گیاهچه بر روی سطح خاک)،  $dS.m^{-1}$  ۴/۹ و شبیب کاهش سبز شدن آن  $7/25$  درصد بدست آمد (جدول ۵). به عبارت دیگر، بر اساس مدل خطی، با افزایش هر واحد شوری بالاتر از حد آستانه، میزان سبز شدن  $7/25$  درصد کاهش پیدا می‌کند. پیش‌بینی می‌شود کاهش  $25$ ،  $50$  و  $75$  درصد سبز شدن بذر، به ترتیب در سطوح شوری  $11/8$   $8/3$  و  $15/2$   $dS.m^{-1}$  رخ داده و در سطح شوری  $18/7$   $dS.m^{-1}$  سبز شدن بذر کاملاً متوقف گردد (جدول ۵). گزارش شده است که بر اساس مدل خطی بالاترین مقدار حد آستانه تحمل به شوری در مرحله سبز شدن متعلق به توده هندی ( $7/8 dS.m^{-1}$ ) بود. این در حالی است که پایین‌ترین مقدار حد آستانه تحمل به شوری از توده‌های مشهدی و نی‌ریزی شبیله (به ترتیب  $1/7$  و  $1/6 dS.m^{-1}$ ) گزارش گردید (بناکار و همکاران، ۱۴۰۰ ب).

بسیاری از شواهد بیانگر این هستند که در گیاهان زراعی مرحله رشد رویشی حساس به نمک است. با این وجود، برخی از گیاهان دیگر ممکن است در مرحله جوانه‌زنی حساس و در مرحله بعدی متحمل به شوری باشند. سازوکار این امر ناشناخته است و تصور بر این

در آن بذور شبکه به مقدار ۵۰ درصد جوانه می‌زند (EC<sub>50</sub>) معادل ۱۱/۵ dS.m<sup>-1</sup> بود.

بر اساس مدل سیگموئیدی تغییر یافته (استفن و همکاران، ۲۰۰۵الف؛ استفن و همکاران، ۲۰۰۵ب)، مقدار EC<sub>50</sub> توده‌های شبکه به مقدار EC<sub>50</sub> پیش‌بینی شده به وسیله مدل سیگموئیدی معمولی (وانگنوختن و هافمن، ۱۹۸۴) بود. مقایسه مقادیر EC<sub>50</sub> پیش‌بینی شده به وسیله مدل سیگموئیدی با مدل خطی سه قسمتی، نشان داد که مقدار شوری که در آن درصد سبز شدن بذور به میزان ۵۰ درصد کاهش می‌یابد (EC<sub>50</sub>) در مدل سیگموئیدی ۱۱/۵ dS.m<sup>-1</sup> توسط مدل خطی ۱۱/۸ dS.m<sup>-1</sup> بود (شکل ۲).

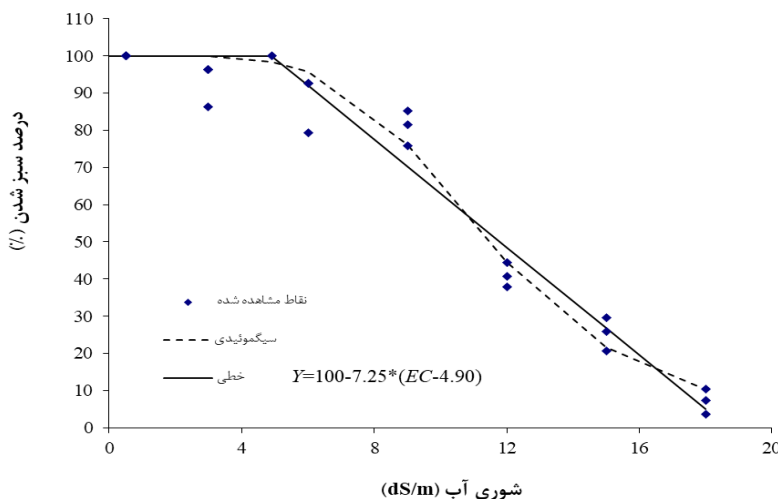
درصد سبز شدن بذور کوشیا را به ترتیب به میزان ۳۵ و ۶۷ درصد کاهش داد (نظمی و همکاران، ۱۳۸۷). این نتایج با نتایج تحقیق حاضر که نشان داد افزایش شوری موجب کاهش تدریجی میزان درصد سبز شدن گیاهچه‌های شبکه داشت، همخوانی دارد.

برخی مدل‌های ارائه شده در جدول ۵، واکنش به شوری شبکه را به شوری به صورت غیرخطی پیش‌بینی می‌کنند. در مدل‌های غیرخطی با افزایش هر سطح شوری میزان سبز شدن به طور تدریجی از همان ابتدا شروع به کاهش یافتن می‌کند و با توجه به شکل منحنی سیگموئیدی ممکن است میزان سبز شدن هیچگاه به صفر نرسد (شکل ۲). در مدل سیگموئیدی، بیشترین شوری که

جدول ۵- معادلات برآورد داده شده مدل‌های مختلف تجربی برای ارزیابی واکنش توده اصفهانی شبکه به تنش شوری در مرحله سبز شدن

مرجع	r	معادله مرجع	معادله برآورد داده شده	نوع مدل
Maas and Hoffman, 1977	0.945	$Y=100-1*(EC-a_0)$	$Y=100-7.25*(EC-4.90)$	مدل سه قسمتی خطی
Van Genuchten and Hoffman, 1984	0.998	$Y=Y_m/[(I+(EC/EC_{50})^p]$	$Y=Y_m/[(I+(EC/11.47)^{4.78}]$	مدل سیگموئیدی
Steppuhn, Van Genuchten and Grieve, 2005a	0.998	$Y=Y_m/[(I+(EC/EC_{50})^{exp s*EC_{50}}]$	$Y=Y_m/[(I+(EC/11.47)^{exp 1.56}]$	مدل سیگموئیدی تغییر یافته
Wang et al., 2002	0.714	$Y=100*\exp[a(EC)-b(EC)^2]$	$Y=100*\exp[-0.0304(EC)-0.00803(EC)^2]$	مدل عامل نمایی دوگانه

در این معادلات  $EC$ ,  $Y$ ,  $Y_m$ ,  $EC_{50}$ ,  $a$ ,  $b$ ,  $s$  به ترتیب عملکرد حداکثری، عملکرد نسبی (%), متوسط شوری عصاره اشاع خاک در طول فصل رشد (dS.m<sup>-1</sup>), شوری عصاره اشاع خاک به ازای ۵۰٪ کاهش عملکرد (dS.m<sup>-1</sup>) می‌باشند. همچنین،  $a_0$ ,  $I$  و  $p$  به ترتیب حد آستانه تحمل به شوری، شبکه، ثابت تجربی و شبکه کاهش عملکرد و مقادیر  $a$  و  $b$  ضرایب ثابت هر معادله می‌باشند.



شکل ۲- نمودار واکنش توده اصفهانی شبکه به شوری در مرحله سبز شدن بر اساس مدل‌های خطی و سیگموئیدی

و همکاران، ۱۴۰۰ ب). در این تحقیق از شاخص تحمل به شوری برای ارزیابی واکنش شبیله به شوری استفاده شد. استفن و همکاران، ۲۰۰۵ ب) کاربردهای عملی این شاخص را برای بیش از صد گونه و رقم از گیاهان زراعی محاسبه و جمع‌آوری نمودند. آن‌ها شاخص تحمل به شوری را برای یونجه، ذرت، نیشکر، گندم، برنج، سویا، آفتابگردان و سورگوم به ترتیب  $9/43$ ,  $6/56$ ,  $9/68$ ,  $14/10$ ,  $15/91$  و  $13/03$  بود. بنابراین، در مرحله سبز شدن توده اصفهانی شبیله از نظر شاخص تحمل به شوری بسیار مشهدی، هندی و اردستانی شبیله به ترتیب  $12/01$ ,  $15/91$  و  $11/89$  بود. همچنین، مقدادیر متناظر  $EC_{50}$  برای گونه‌های فوق به ترتیب  $8/5$ ,  $5/5$ ,  $9/8$ ,  $12/6$ ,  $6/8$ ,  $7/2$ ,  $14/4$  و  $9/6$   $dS.m^{-1}$  بود.

نتایج محاسبه شاخص تحمل به شوری برای توده اصفهانی شبیله نشان داد که مقدار این شاخص  $13/04$  بدست آمد (جدول ۶). شاخص تحمل به شوری شبیله بسته به نوع توده و رقم متفاوت است. بر اساس گزارشات ارائه شده، شاخص تحمل به شوری برای توده‌های مشهدی، هندی و اردستانی شبیله به ترتیب  $12/01$ ,  $15/91$  و  $11/89$  بود. بنابراین، در مرحله سبز شدن توده اصفهانی شبیله از نظر شاخص تحمل به شوری بسیار نزدیک به توده مشهدی می‌باشد. توده اصفهانی شبیله نسبت به توده مشهدی به شوره متتحمل‌تر است ولی نسبت به توده هندی تحمل کمتری به شوری دارد (بناکار

جدول ۶- ضرایب معادله سیگموئیدی و شاخص تحمل به شوری (ST-index) توده اصفهانی شبیله در مرحله سبز شدن

ST-index	شاخص تحمل به شوری	$Exp(S^*EC_{50})$	ضریب S	$EC_{50} (dS.m^{-1})$
13.04		4.78	0.1364	11.5

عملکرد ماده خشک معادل  $4/91$  درصد به ازای هر واحد افزایش شوری خاک است. بر این اساس، مطابق با مدل خطی، کاهش عملکرد نسبی به میزان  $10$  درصد در شوری عصاره اشباع خاک  $3/2$  و کاهش  $25$  و  $50$  درصدی عملکرد نسبی به ترتیب در شوری خاک  $6/4$  و  $11/5$   $dS.m^{-1}$  اتفاق می‌افتد (شکل ۳). همچنین، بر اساس مدل خطی عملکرد نسبی ماده خشک در شوری خاک  $21/7$   $dS.m^{-1}$  به صفر خواهد رسید.

ساختمان مدل‌های ارائه شده در جدول ۷، واکنش شبیله به شوری را به صورت غیرخطی پیش‌بینی می‌کنند. بر این اساس، در مدل‌های غیرخطی همراه با افزایش هر سطح شوری، میزان عملکرد نسبی ماده خشک به طور تدریجی از همان ابتدا به طور سیگموئیدی و یا نمایی شروع به کاهش پیدا می‌کند (شکل ۴). بر اساس مدل غیرخطی ارائه شده توسط وانگنوختن و هافمن ( $1984$ )، کاهش  $10$  و  $25$  درصدی در عملکرد ماده خشک به ترتیب در شوری عصاره اشباع خاک  $3/4$  و  $6/3$   $dS.m^{-1}$  رخ می‌دهد. همچنین، مقدار شوری که در آن عملکرد نسبی ماده خشک به میزان  $50$  درصد کاهش می‌یابد ( $EC_{50}$ ), در

ج) تحمل به شوری شبیله در مرحله رشد رویشی در این پژوهش از مدل‌های مختلف تجربی برای ارزیابی تحمل به شوری شبیله استفاده شد. برای این منظور، از ماده خشک تولید شده در اندام هوایی (وزن خشک اندام هوایی) برای بررسی واکنش تحمل به شوری استفاده شد. بر اساس مدل خطی ارائه شده توسط ماس و هافمن ( $1977$ ) که در آن واکنش شبیله به شوری به صورت خطی پیشنهاد شده است، هنگامی که شوری خاک (EC) بین صفر و حد آستانه ( $a_0$ ) باشد، عملکرد نسبی (Y) برابر  $100$  درصد بوده و هیچ گونه کاهش عملکردی دیده نمی‌شود. لیکن، در شوری‌های زیادتر از حد آستانه عملکرد نسبی با شبیث ثابتی (I) به صورت خطی شروع به کاهش می‌کند. بر اساس روابط مندرج در جدول ۵، مقدار حد آستانه ( $a_0$ ) و شبیث کاهش عملکرد (I) بر اساس مدل خطی به ترتیب برابر  $1/3 dS.m^{-1}$  و  $4/91$  درصد برآورد شد. این بدان معنی است که مطابق با مدل خطی میزان عملکرد نسبی شبیله تا  $1/3 dS.m^{-1}$  برابر  $100$  درصد بوده، لیکن در شوری‌های زیادتر از آن به تدریج عملکرد آن شروع به کاهش پیدا می‌کند، به طوری که کاهش

افزایش شوری را به صورت غیرخطی نشان می‌دهد. در این رابطه، پارامتر  $s$  شبکه منحنی است که از قدر مطلق مشتق تغییرات عملکرد نسبی به تغییرات شوری محیط ( $|dY/dEC|$ ) به دست می‌آید. در این رابطه، عبارت نمایی  $EC_{50}$  (s.  $EC_{50}$ ) میزان برآمدگی و یا فرورفتگی دو طرف منحنی را نسبت به  $EC_{50}$  نشان می‌دهد. بر اساس پارامتر  $ST$ - $(-$ غیرخطی  $EC_{50}$  و  $s$ , شاخص تحمل به شوری (index) به عنوان معیاری برای مقایسه تحمل به شوری پیشنهاد شده است. در این پژوهش، مقدار  $EC_{50}$  و ضریب  $s$  به ترتیب  $11/7$  و  $0/049$  به دست آمد. با قرار دادن این اعداد در معادله مرجع، شاخص تحمل به شوری (ST-index) برای شبکه  $12/24$  محاسبه شد.

شوری  $dS.m^{-1}$   $11/7$  پیش‌بینی می‌شود (جدول ۷ و شکل ۴).

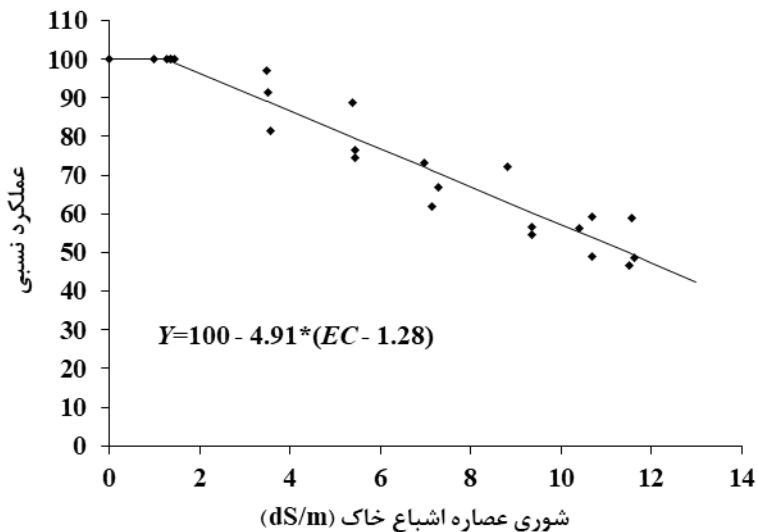
بر اساس نتایج حاصله، در شکل دیگری از مدل سیگموئیدی که در آن منحنی واکنش به شوری را به صورت نمایی پیش‌بینی شده است (وانگ و همکاران، ۲۰۰۲) افزایش شوری خاک در  $3/23$   $dS.m^{-1}$  موجب کاهش عملکرد نسبی به میزان  $10$  درصد می‌شود. همچنین، شوری خاک در  $7/42$  و  $14/24$   $dS.m^{-1}$  منجر به کاهش عملکرد نسبی ماده خشک به ترتیب به میزان  $25$  و  $50$  درصد خواهد شد (جدول ۷ و شکل ۴).

بر اساس رابطه چند جزئی نزولی تغییریافته که شکل دیگری از مدل سیگموئیدی است، کاهش عملکرد در اثر

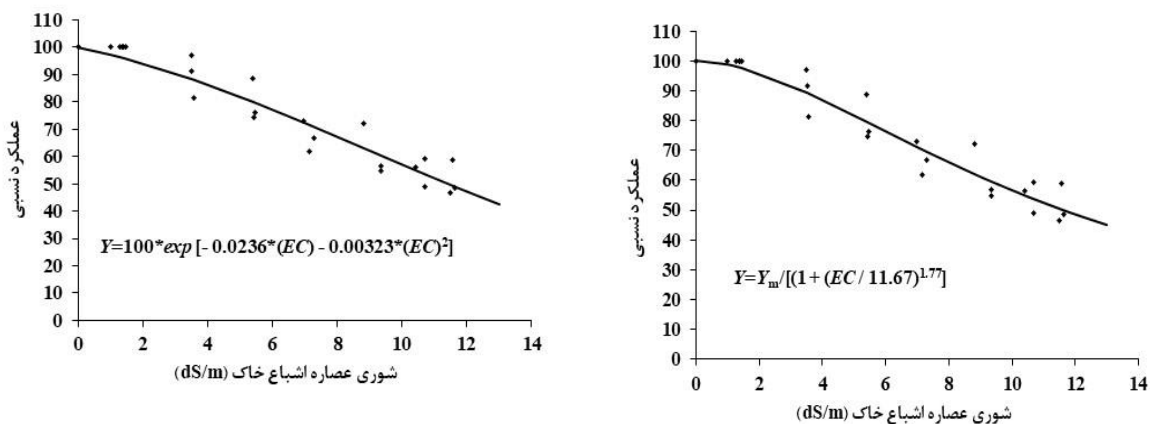
جدول ۷- معادلات برآش داده شده مدل‌های مختلف تجربی برای ارزیابی واکنش توده اصفهانی شبکه به تنفس شوری در مرحله رشد رویشی

مرجع	r	معادله مرجع	معادله برآش داده شده	نوع مدل
Maas and Hoffman, 1977	0.996	$Y=100-1*(EC-a_0)$	$Y=100-4.91*(EC-1.28)$	مدل سه قسمتی خطی
Van Genuchten and Hoffman, 1984	0.999	$Y=Y_m/ [(I+(EC/EC_{50})^p)]$	$Y=Y_m/ [(I+(EC/11.67)^{1.77}]$	مدل سیگموئیدی
Steppuhn, Van Genuchten and Grieve, 2005a	0.999	$Y=Y_m/ [(I+(EC/EC_{50})^{exp})^{s*EC_{50}}]$	$Y=Y_m/ [(I+(EC/11.67)^{exp})^{0.572}]$	مدل سیگموئیدی تغییر پافته
Wang <i>et al.</i> , 2002	0.974	$Y=100*exp[a(EC)-b(EC)^2]$	$Y=100*exp[-0.0236(EC)-0.00323(EC)^2]$	مدل عامل نمایی دوگانه

در این معادلات  $EC$ ,  $EC_{50}$ ,  $Y$ ,  $Y_m$  به ترتیب عملکرد حداکثر، عملکرد نسبی (%), متوسط شوری عصاره اشباع خاک در طول فصل رشد ( $dS.m^{-1}$ ), شوری عصاره اشباع خاک به ازای  $50\%$  کاهش عملکرد ( $dS.m^{-1}$ ) می‌باشند. همچنین،  $a_0$ ,  $p$ ,  $d$ ,  $s$  به ترتیب حد آستانه تحمل به شوری، شبکه خط، ثابت تجربی و شبکه منحنی بوده و مقادیر  $a$  و  $b$  ضرایب ثابت هر معادله می‌باشند.



شکل ۳- نمودار واکنش توده اصفهانی شنبیله به دوری در مرحله رشد رویشی بر اساس مدل خطی



شکل ۴- پیش‌بینی تغییرات عملکرد نسبی ماده خشک توده اصفهانی شنبیله به دوری عصاره اشباع خاک مطابق با مدل‌های غیرخطی سیگموئیدی (راست)، نمایی (چپ)

می‌باشد، می‌توان شنبیله را در یکی از این گروه‌ها طبقه‌بندی کرد. با توجه به نتایج این تحقیق، بر اساس مدل خطی ماس و هافمن (۱۹۷۷) حد آستانه تحمل به دوری شنبیله بر اساس عملکرد خشک معادل  $1/3 \text{ dS.m}^{-1}$  با شبک کاهش عملکرد  $4/9$  درصد بود. با مکان یابی این اعداد در نمودار واکنش تغییرات عملکرد گیاهان به دوری (آیز و وسکات، ۱۹۸۹)، شنبیله را می‌توان از نظر عملکرد ماده خشک در مرحله رشد رویشی در گروه گیاهان نسبتاً حساس به دوری گروه‌بندی نمود (بناکار و همکاران، ۱۴۰۰ج).

مقایسه پارامترهای محاسبه شده شاخص تحمل به دوری و  $EC_{50}$  شنبیله (به ترتیب  $12/24$ ،  $1/3 \text{ dS.m}^{-1}$ ) با مقادیر ارائه شده برای گونه‌های زراعی رایج می‌تواند برآورده از تحمل به دوری شنبیله به دست دهد. بر این اساس، اعداد شاخص تحمل به دوری و  $EC_{50}$  شنبیله خیلی نزدیک به سورگوم بوده و بنابراین احتمالاً اندکی متحمل‌تر از آن می‌باشد (جدول ۸). معذلک، مطابق با مدل خطی ارائه شده توسط ماس و هافمن (۱۹۷۷) که در آن گروه‌بندی گیاهان از نظر تحمل به دوری بر اساس اعداد آستانه تحمل به دوری و شبک کاهش عملکرد

جدول ۸- خرایب معادله سیگموئیدی و شاخص تحمل به شوری (ST-index) توده اصفهانی شنبیله در مرحله رشد رویشی

شاخص تحمل به شوری-ST-		Exp(s*EC <sub>50</sub> )	S ضریب	EC <sub>50</sub> (dS.m <sup>-1</sup> )
index				
12.24		1.77	0.0490	11.7

شد. برای این منظور صفت عملکرد دانه برای بررسی واکنش تحمل به شوری مورد استفاده قرار گرفت. مطابق با مدل خطی ارائه شده توسط ماس و هافمن (۱۹۷۷) و روابط مندرج در جدول ۵، مقدار حد آستانه ( $a_0$ ) و شبک کاهش عملکرد (۱) بر اساس مدل خطی به ترتیب برابر  $1/3$  dS.m<sup>-1</sup> و  $8/64$  درصد برآورد گردید. این بدان معنی است که مطابق با مدل خطی میزان عملکرد نسبی دانه شنبیله تا  $1/3$  dS.m<sup>-1</sup> برابر  $100$  درصد بوده، اما در شوری‌های بالاتر از آن به تدریج عملکرد دانه شروع به کاهش پیدا می‌کند، به طوری که مقدار کاهش عملکرد دانه معادل  $8/64$  درصد به ازای هر واحد افزایش شوری خاک می‌باشد (شکل ۵). بر این اساس، مطابق با مدل خطی، کاهش عملکرد نسبی دانه به میزان  $10$  درصد در شوری عصاره اشیاع خاک  $2/5$  dS.m<sup>-1</sup> و کاهش  $25$  و  $50$  درصدی عملکرد دانه به ترتیب در شوری خاک  $4/2$  و  $7/1$  dS.m<sup>-1</sup> اتفاق می‌افتد. همچنین، عملکرد نسبی دانه در شوری خاک  $12/9$  dS.m<sup>-1</sup> به صفر خواهد رسید (جدول ۸).

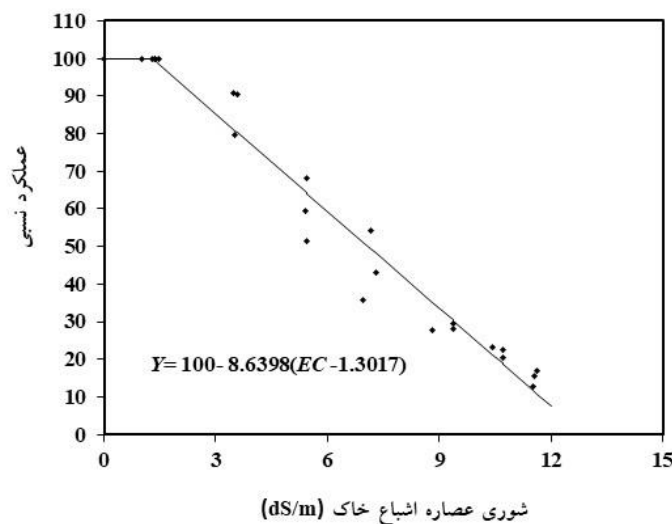
اغلب تولید ماده خشک برای مشخص ساختن واکنش گیاه به شوری بکار می‌رود. از آنجا که محتوای آبی گیاه در شرایط تنفس متفاوت است، تولید ماده خشک به عنوان شاخص مناسبی برای ارزیابی اثرات شوری در گیاه بکار می‌رود (هاجمیر، ۱۹۷۷). کاهش عملکرد بیولوژیک یا ماده خشک در اثر تنفس شوری ناشی از کاهش جذب آب، کاهش تعرق، کاهش سطح برگ، بسته شدن روزنه‌ها، کاهش فتوستتر و فراورده‌های فتوستتری می‌باشد که هریک از آنها معلول عوامل دیگری است. همچنین، بنا به اعتقاد تستر و داونپورت (۲۰۰۳)، ساخت پروتئین و آنزیم مستلزم وجود غلظت‌های بالای یون‌های سدیم بجای تنفس شوری حضور مقادیر بالای پروتئین‌سازی و رشد پتاسیم موجب اختلال در الگوی پروتئین‌سازی و رشد شده که یکی از آسیب‌های مهم تنفس شوری در گیاهان است (تستر و داونپورت، ۲۰۰۳؛ بنکار و همکاران، ۲۰۲۲).

د) تحمل به شوری شنبیله در مرحله رشد زایشی در این تحقیق از مدل‌های مختلف تجربی برای ارزیابی تحمل به شوری شنبیله در مرحله رشد زایشی استفاده

جدول ۹- معادلات برآذش داده شده مدل‌های مختلف تجربی برای ارزیابی واکنش توده اصفهانی شنبیله به تنش شوری در مرحله رشد زایشی و تشکیل دانه

نوع مدل	معادله برآذش داده شده	معادله مرتع	r	مرجع
مدل سه قسمتی خطی	$Y=100-8.64*(EC-1.30)$	$Y=100-l*(EC-a_0)$	0.996	Maas and Hoffman, 1977
مدل سیگموئیدی	$Y=Y_m/ [(I+(EC/EC_{50})^p]^s]$	$Y=Y_m/ [(I+(EC/EC_{50})^{exp s*EC_{50}}]^p]$	0.999	Van Genuchten and Hoffman, 1984
مدل سیگموئیدی تغییر یافته	$Y=Y_m/ [(I+(EC/6.51)^{exp 1.027}]$	$Y=Y_m/ [(I+(EC/EC_{50})^{exp s*EC_{50}}]^p]$	0.999	Steppuhn, Van Genuchten and Grieve, 2005a
مدل عامل نمایی دوگانه	$Y=100*exp[-0.00022(EC)-0.0149(EC)^2]$	$Y=100*exp[a(EC)-b(EC)^2]$	0.913	Wang <i>et al.</i> , 2002

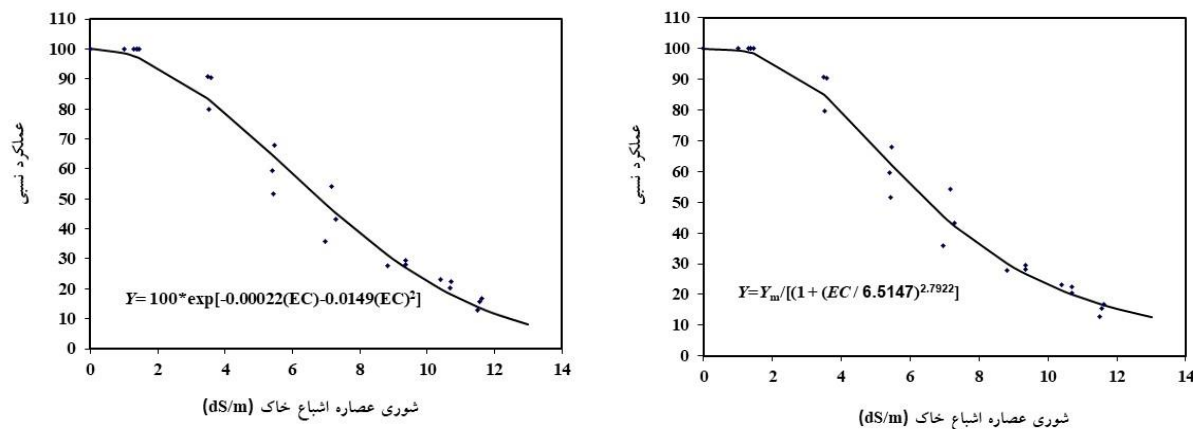
در این معادلات  $EC$ ,  $Y$ ,  $Y_m$ ,  $EC_{50}$  به ترتیب عملکرد حداکثر، عاملکرد نسبی (%), متوسط شوری عصاره اشباع خاک در طول فصل رشد ( $dS.m^{-1}$ ), شوری عصاره اشباع خاک به ازای ۵۰٪ کاهش عملکرد ( $dS.m^{-1}$ ) می‌باشند. همچنین،  $a_0$ ,  $p$ ,  $l$  و  $s$  به ترتیب حد آستانه تحمل به شوری، شب خط، ثابت تجربی و شب منحنی بوده و مقادیر  $a$  و  $b$  ضرایب ثابت هر معادله می‌باشند.



شکل ۵- نمودار واکنش توده اصفهانی شنبیله به شوری در مرحله رشد زایشی بر اساس مدل خطی

توسط وانگنوختن و هافمن (۱۹۸۴)، کاهش ۱۰ و ۲۵ درصدی در عملکرد نسبی دانه به ترتیب در شوری عصاره اشباع خاک ۳/۰ و ۴/۴  $dS.m^{-1}$  رخ می‌دهد. همچنین، مقدار شوری که در آن عملکرد نسبی دانه به میزان ۵۰ درصد کاهش می‌یابد ( $EC_{50}$ ) معادل  $dS.m^{-1}$  می‌باشد (جدول ۹ و شکل ۶).

سایر مدل‌های ارائه شده در جدول ۹، واکنش شنبیله به شوری را به صورت غیر خطی پیش‌بینی می‌کنند. بر این اساس در مدل‌های غیر خطی همراه با افزایش هر سطح شوری، میزان عملکرد دانه به صورت تدریجی از همان ابتدا به طور سیگموئیدی و یا نمایی شروع به کاهش یافتن می‌کند (شکل ۶). بر اساس مدل غیر خطی ارائه شده



شکل ۶- پیش‌بینی تغییرات عملکرد دانه توده اصفهانی شنبله به شوری عصاره اشباع خاک مطابق با مدل‌های غیرخطی. سیگموئیدی (راست)، نمایی (چپ)

مطلق مشتق تغییرات عملکرد نسبی به تغییرات شوری محیط ( $|dY/dEC|$ ) به دست می‌آید. در این رابطه، عبارت نمایی ( $s \cdot EC_{50}$ ) میزان برآمدگی و یا فرورفتگی دو طرف منحنی را نسبت به  $EC_{50}$  نشان می‌دهد (بناکار و همکاران، ۱۴۰۰ج). بر اساس پارامتر غیر خطی  $EC_{50}$  و  $s$ ، شاخص تحمل به شوری (ST-index) به عنوان معیاری برای مقایسه تحمل به شوری پیشنهاد شده است. در این تحقیق، مقدار  $EC_{50}$  و ضریب  $s$  به ترتیب  $dS.m^{-1}$  و  $0.1576$  به دست آمد. با قرار دادن این اعداد در رابطه (۴)، شاخص تحمل به شوری (ST-index) برای شنبله ۷/۵۴ محاسبه گردید (جدول ۱۰).

بر اساس نتایج حاصله، در شکل دیگری از مدل سیگموئیدی که در آن منحنی واکنش به شوری را به صورت نمایی پیش‌بینی شده است (وانگ و همکاران، ۲۰۰۲)، افزایش شوری خاک در  $2/7 dS.m^{-1}$  موجب کاهش عملکرد نسبی دانه به میزان  $10$  درصد می‌گردد. همچنین، شوری خاک در  $4/4$  و  $6/8 dS.m^{-1}$  منجر به کاهش عملکرد نسبی دانه به ترتیب به میزان  $25$  و  $50$  درصد خواهد گردید (جدول ۹ و شکل ۶).

بر اساس رابطه چند جزئی نزولی تغییر یافته که شکل دیگری از مدل سیگموئیدی می‌باشد، کاهش عملکرد در اثر افزایش شوری را به صورت غیر خطی نشان می‌دهد. در این رابطه، پارامتر  $s$  شبک منحنی می‌باشد که از قدر

جدول ۱۰- ضرایب معادله سیگموئیدی و شاخص تحمل به شوری (ST-index) توده اصفهانی شنبله در مرحله رشد زایشی

شاخص تحمل به شوری ST-index	$Exp(s \cdot EC_{50})$	ضریب $s$	$EC_{50} (dS.m^{-1})$
7.54	2.79	0.1576	6.5

دانه، عقیم شدن قسمت انتهایی سنبله گزارش شده است. علاوه بر این، عامل دیگری که باعث کاهش عملکرد می‌گردد، تاثیری است که شوری بر اجزای عملکرد گذاشته و منجر به کاهش تعداد سنبله، تعداد دانه در سنبله و وزن هزار دانه می‌شود (رنجبر و بنکار، ۱۳۹۲). در جو، اثرات منفی شوری بر عملکرد دانه، وزن دانه، تعداد دانه در سنبله، تعداد سنبله‌های عقیم و وزن هزار دانه گزارش

شوری می‌تواند بسیاری از فرایندهای مربوط به رشد زایشی که مرتبط با عملکرد دانه است را مختلط نموده و به نمو گیاه صدمه وارد سازد. تنش شوری از طریق کاهش قدرت زنده ماندن دانه گرده و کاهش قدرت جوانهزنی آن، باروری و پر شدن دانه را تحت تاثیر قرار داده و به کاهش عملکرد دانه منجر می‌شود (میرمحمدی میبدی و قره یاضی، ۱۳۸۱). در گندم یکی از علل کاهش عملکرد

که در شبیله تنفس شوری موجب کاهش تعداد نیام در بوته، تعداد دانه در نیام، وزن هزار دانه تعداد دانه‌های پر، عملکرد دانه و افزایش درصد دانه‌های پوک گردید (بناکار و همکاران، ۱۳۹۹).

نتایج این تحقیق نشان داد که تحمل به شوری شبیله در مراحل مختلف رشد متفاوت بود. در جدول ۱۱ خلاصه‌ای از تغییرات حد آستانه تحمل به شوری، شیب کاهش، شاخص تحمل به شوری، حداکثر شوری که در آن عملکرد بهمیزان ۵۰ درصد کاهش می‌یابد درج شده است.

شده است (شهیدی و همکاران، ۱۳۸۹). گزارش شده است که در کلزا کاهش تعداد غلاف در بوته ممکن است ناشی از هورمون اسید آبسزیک باشد، زیرا بالا بودن این هورمون می‌تواند موجب مرگ دانه‌های گرده شده و بنابراین تعداد گل‌های لقادیر یافته و نهایتاً تعداد غلاف را کاهش دهد (ناصری و همکاران، ۱۳۹۵). نشان داده شده است که تنفس شوری در بادام زمینی موجب کاهش وزن خشک نیام شده است. همچنین، در برخی آبیاری با آب شور، کاهش تعداد دانه‌های گرده زنده را به دنبال داشته که به کاهش تعداد سنبله‌های بارور و کاهش عملکرد دانه منجر شده است (هاجمیر، ۱۹۷۷). نشان داده شده است

جدول ۱۱- تغییرات حد آستانه تحمل به شوری، شیب کاهش، شاخص تحمل به شوری (ST-index) و حداکثر شوری که در آن عملکرد بهمیزان ۵۰ درصد کاهش می‌یابد (EC50) برای توده اصفهانی شبیله در مراحل مختلف رشد

مرحله رشد	حد آستانه تحمل به شوری (dS.m <sup>-1</sup> )	شیب کاهش (%)	شاخص تحمل به شوری ST-index	EC50 (dS.m <sup>-1</sup> )
جوانه‌زنی	20.3	10.37	25.6	29.15
سیزشدن	4.9	7.25	13.04	11.5
رشد رویشی	1.3	4.9	12.24	11.7
رشد زایشی	1.3	8.64	7.54	6.5

### نتیجه گیری

در این تحقیق، از مدل‌های مختلف تجربی برای بررسی تغیرات حد آستانه تحمل به شوری، شیب کاهش عملکرد و شاخص تحمل به شوری در هر یک از مراحل مختلف رشد استفاده شد. نتایج نشان داد که تحمل به شوری شبیله در مراحل مختلف رشد متفاوت بود بطوری‌که این گیاه در مرحله جوانه‌زنی بیشترین میزان تحمل را به شوری نشان داد. در مرحله جوانه‌زنی حد آستانه تحمل به شوری  $20/3\text{ dS.m}^{-1}$  و شیب کاهش جوانه‌زنی  $10/37$  درصد بود. لیکن، این تحمل در مراحل بعدی رشد و نمو به تدریج کمتر شد. بطوری‌که شبیله در مرحله سبزشدن نسبت به جوانه‌زنی تحمل به شوری پایین‌تری از خود نشان داد (حد آستانه  $4/9\text{ dS.m}^{-1}$  با شیب کاهش  $7/25$  درصد). در مرحله رشد رویشی تحمل به شوری شبیله کمتر شده بطوری‌که حد آستانه تحمل به شوری آن در این مرحله  $1/3\text{ dS.m}^{-1}$  همراه با شیب کاهش عملکرد  $4/9$  درصد بود. شبیله در مرحله رسیدگی دانه کمترین تحمل را به شوری نشان داد. در مرحله رسیدگی دانه حد آستانه تحمل به شوری شبیله  $1/3\text{ dS.m}^{-1}$  با شیب کاهش عملکرد  $8/64$  درصد همراه بود. مطابق مدل‌های غیرخطی مقادیر متناظر شوری که در آن عملکرد به اندازه  $50$  درصد کاهش می‌یابد ( $\text{EC}_{50}$ ) برای توده اصفهانی شبیله در مراحل جوانه‌زنی، سبزشدن، رشد رویشی و رسیدگی دانه به ترتیب  $25/8$ ،  $11/5$ ،  $11/7$ ،  $6/5\text{ dS.m}^{-1}$  به دست آمد. بنابراین، در مناطقی که دسترسی به منابع آب با کیفیت متفاوت وجود دارد می‌توان از آنها برای آبیاری شبیله در مراحل اولیه رشد از آب شور و به تدریج در مراحل بعدی رشد از آب‌های با کیفیت بالاتر اسفاده کرد.

## فهرست منابع

۱. بناکار، م.ح.، امیری، ح.، رنجبر، غ.ح. و سرافراز اردکانی، م.ر.، ۱۴۰۰الف. تعیین آستانه تحمل به شوری توده‌های مختلف شبیله (*Trigonella foenum-graecum* L.) در مرحله جوانه‌زنی با استفاده از مدل‌های تجربی. مجله پژوهش‌های گیاهی. جلد ۳۴. شماره ۲. ۲۲-۱.
۲. بناکار، م.ح.، امیری، ح.، رنجبر، غ.ح. و سرافراز اردکانی، م.ر.، ۱۴۰۰ب. ارزیابی و تعیین حد آستانه تحمل به شوری برخی توده‌های شبیله (*Trigonella foenum-graecum*) در مرحله سبز شدن گیاهچه. مجله پژوهش‌های بذر ایران. سال هشتم. شماره ۲. ۶۷-۵۱.
۳. بناکار، م.ح.، امیری، ح.، رنجبر، غ.ح. و سرافراز اردکانی، م.ر.، ۱۴۰۰ج. اثر شوری بر برخی صفات مورفولوژیک شبیله و تعیین حد آستانه تحمل به شوری در مرحله رویشی با استفاده از برخی مدل‌های تجربی. مجله تنش‌های محیطی در علوم زراعی. جلد چهاردهم. شماره ۴. ۱۱۰۳-۱۰۸۱.
۴. بناکار، م.ح.، امیری، ح.، رنجبر، غ.ح. و سرافراز اردکانی، م.ر.، ۱۳۹۹. تعیین حد آستانه تحمل به شوری و اثرات استفاده از آب شور بر عملکرد و اجزای عملکرد دانه شبیله (*Trigonella foenum-graceum*). مجله فرایند و کارکرد گیاهی. جلد ۹. شماره ۳۹. ۳۰۹-۲۸۹.
۵. حسن زاده، ا.، رضازاده، ش.، ع.، شمسا، س.، ف.، دولت آبادی، ر. و زرین قلم، ر.، ۱۳۸۹. مروری بر خواص درمانی و فیتوشیمیایی شبیله (Fenugreek). فصلنامه گیاهان دارویی. سال نهم. دوره دوم. شماره ۱-۱۳. ۳۴.
۶. دادخواه، ع.، ر.، ۱۳۸۹. مطالعه اثر تنش شوری و نوع نمک بر جوانه زنی و رشد گیاهچه چهار گیاه دارویی شبیله، کنجد، شاهدانه و زنیان. فصلنامه علمی-پژوهشی تحقیقات گیاهان دارویی و معطر ایران. جلد ۲۶. شماره ۳. ۳۶۹-۳۵۸.
۷. میرمحمدی میبدی، س.ع.م. و قره یاضی، ب.، ۱۳۸۱. جنبه‌های فیزیولوژیک و بهترادی تنش شوری گیاهان، انتشارات دانشگاه صنعتی، اصفهان، ۲۸۸ صفحه.
۸. رنجبر، غ.ح. و غدیری، ح.، ۱۳۹۵. کمی‌سازی سبزشدن بذر کوشیا (*Kochia indica*) تحت تاثیر دما، شوری و عمق کاشت، مجله پژوهش‌های بذر ایران، سال ۳، شماره ۲، ۵۵-۴۱.
۹. رنجبر، غ.ح.؛ پیراسته انوشیه، ۵؛ امام، ی و حسین‌زاده، س.ح.، ۱۳۹۲. تاثیر تنش شوری بر مراحل مختلف رشد گندم رقم روشن، فصلنامه تولید گیاهان زراعی در شرایط تنش‌های محیطی، سال ۵، شماره ۱، ۳۱-۲۳.
۱۰. رومانی، ا. و احتشامی، س.م. ر.، ۱۳۹۳. اثر سطوح مختلف تنش شوری بر جوانه زنی بذر و رشد اولیه گیاهچه شبیله (*Trigonella foenum gracum*). پژوهش‌های بذر ایران. سال اول. شماره ۱. ۴۵-۳۳.
۱۱. زرگری، ع.، ۱۳۷۱. گیاهان دارویی. جلد اول. چاپ ششم. انتشارات دانشگاه تهران. ۹۴۶ صفحه.

۱۲. شهیدی، ر؛ کامکار، ب؛ لطیفی، ن. و گالشی، س. ۱۳۸۹. اثر سطوح مختلف شوری و زمان تیمار روی عملکرد و اجزای عملکرد دانه جو بدون پوشه (*Hordeum vulgare* L.), مجله تولید گیاهان زراعی، دوره ۳، شماره ۲، ۶۳-۴۹.
۱۳. نوح پیشه، ز.، امیری، ح.، محمدی غلامی، ع. و فرهادی، س. ۱۳۹۹. تأثیر نانوذره اکسید روی (ZnO) بر برخی پارامترهای مورفولوژیکی و فیزیولوژیکی دو رقم از شبکیه (*Trigonella foenum-graecum* L.) در شرایط تنفس شوری. فرآیند و کارکرد گیاهی. ۹ (۳۵): ۴۲۳-۴۳۸.
۱۴. فرهادی، ح. و عزیزی، م. ۱۳۹۵. اثر پیش تیمار بذر با اسید سالیسیلیک بر جوانهزنی چهار توده بومی شبکیه در شرایط تنفس شوری (*Trigonella foenum-graecum* L.). پژوهش های تولید گیاهی. جلد بیست و سوم، شماره ۳، ۱-۱۹.
۱۵. مهرآفرین، ع.، قوامی، ن.، نقدی بادی، ح. ع. و قادری، ا. ۱۳۹۰. آلkalوئید تریگونلین، یک متابولیت دارویی ارزشمند گیاهی. فصلنامه گیاهان دارویی. سال ۱۱. دوره اول. شماره ۸، ۲۹-۱۲.
۱۶. ناصری، م؛ آرویی، ح؛ کافی، م. و نعمتی، ح. ۱۳۹۵. تأثیر آب شور بر ویژگی های فیزیولوژیک شبکیه در کشت هیدرопونیک، نشریه پژوهش آب در کشاورزی، دوره ۳۰، شماره ۱، ۷۱-۶۵.
۱۷. ارچنگی، آ؛ خدامباشی، م. و محمدخانی، ع. ۱۳۹۱. تأثیر تنفس شوری بر خصوصیات مورفولوژیک و میزان عناصر سدیم، پتاسیم و کلسیم در گیاه دارویی شبکیه (*Trigonella foenum gracum*) تحت شرایط کشت هیدرопونیک، مجله علوم و فنون کشت های گلخانه ای، سال ۳، شماره ۱۰، ۴۰-۳۳.
۱۸. نظامی، ا؛ نباتی، ج؛ کافی، م. و محسنی، م. ۱۳۸۷. ارزیابی تحمل به شوری کوشیا (*Kochia scoparia* (L.)) در مرحله سبزشدن و گیاهچه ای تحت شرایط کنترل شده، مجله تنفس های محیطی در علوم کشاورزی، دوره ۱، شماره ۱، ۷۷-۶۹.
19. Ayers, R.S. and Westcot, D.W. 1989. Water quality for agriculture, FAO, Irrigation and drainage paper 29, *Food and agriculture Organization of the United Nations*, Rome, 174PP.
20. Abdelmoumen, H. and Missbah El Idrissi, M., 2009. Germination, growth and nodulation of *Trigonella foenum graecum* (Fenu Greek) under salt stress. African Journal of Biotechnology. 8 (11): 2489-2496.
21. Banakar, M.H.; Amiri, H. Sarafraz Ardakani, M.R.; Ranjbar, G.H. 2022. Susceptibility and tolerance of fenugreek (*Trigonella foenum-graceum* L.) to salt stress: Physiological and biochemical inspections. Journal of Environmental and Experimental Botany. 194. 104748. 1-10.
22. Chowdhury, M.M.U., Bhowal, S.K., Farhad, I.S.M., Choudhury, A.K. and Khan, A.S.M.M.R., 2014. Productivity of Fenugreek Varieties (*Trigonella foenum-graecum* L.) in the Coastal Saline Areas of Noakhali. The Agriculturists Journal. 12(2): 18-23.
23. Ghorbanpour, A., Mami, Y., Ashournezhad, M., Abri, F. and Amani, M., 2011. Effect of salinity and drought stress on germination of fenugreek. African Journal of Agricultural Research. 6(24): 5529-5532.
24. Hagemeyer, J., 1997. Salt. In: Prasad, M. N. V. Plant Ecophysiology. Wiley and Sons, Inc. New York. 173-206.

25. Maas, E.V. and Hoffman G.L., 1977. Crop salt tolerance-current assessment. Journal of Irrigation and Drainage Div. ASCE. 103: 115-134.
26. Barahouee, M. and Sabbagh, E. 2017. Influence of vermicompost and salt stress on some characteristics of Fenugreek (*Trigonella foenum-graecum* L.), *International Journal of Agriculture and Biosciences*, 6(1): 60-63.
27. Petropoulos, G.A. 2002. Fenugreek, the genus *Trigonella*. London and New York. 214 pages.
28. Sharma, Sh. And Vimala, Y. 2016. Effect of Salt Stress on Germination and Growth of *T. foenum graecum* Seedlings. International Journal of Advanced Research. 4 (3): 40-45.
29. Sindhu, S.N., Prathika G., Sindhuja U., Akshaya, S. and Abhilasha, V.G. 2017. Evaluation of abiotic stress induced physiological and biochemical changes in *Trigonella Foenum-Graecum*. IOSR Journal of Biotechnology and Biochemistry. 3 (1): 89-97.
30. Steppuhn, H., Van Genuchten, M.Th. and Grieve, C.M., 2005a. Root-zone salinity: I: selecting and product-yield index and response functions for crop tolerance. *Crop Science*, 45: 209-220.
31. Steppuhn, H., Van Genuchten, M.Th. and Grieve, C.M., 2005b. Root-zone salinity: II: Indices for tolerance in agricultural crops. *Crop Science*, 45: 221-232.
32. Tester, M. and Davenport, R. 2003.  $\text{Na}^+$  tolerance and  $\text{Na}^+$  transport in higher plants. *Annual Journal of Botany*, 91: 503–550.
33. Van Genuchten, M.Th. and Hoffman, G.J., 1984. Analyzing crop salt tolerance data. P: 285-271, In: Shainberg, I. and Shalheveth, J. (eds.), *Soil salinity under irrigation- process and management*, Springer-Verlag, NewYork, NY.
34. Volkmar, K. M., Hu, Y. & Steppuhn, H., 1997. Physiological responses of plants to salinity: A review. *Canadian Journal of Plant Science*, 78: 19-27.
35. Maas, E.V. and Hoffman G.L. 1977. Crop salt tolerance-current assessment. *Irrigation and Drainage Division, ASCE* 103:115-134.
36. Zahir, M. and Hussain, F. 2010. Vegetative growth performance of five medicinal plants under  $\text{NaCl}$  salt stress, *Pakistan Journal of Botany*, 42(1): 303-316.
37. Zahir, M. and Hussain, F. 2011. Effect of  $\text{NaCl}$  salinity on the germination and seedling growth of some medicinal plants. *Pakistan Journal of Botany*. 42(2): 889-897.
38. Wang, D., Poss, J.A., Donovan, T.J., Shannon, M.C. and Lesch, S.M. 2002. Biophysical properties and biomass production of elephant grass under saline conditions, *Journal of Arid Environments*, 52 (4): 447-456.